

### ③ NOx センサを用いた重量車排出ガス計測システムにおける NOx 濃度測定等の高精度化に関する検討

環境研究部

※山本 敏朗 鈴木 央一 柴崎 勇一

#### 1. まえがき

ディーゼル重量車の排出ガス規制は、エンジン単体でのエンジンダイナモーティア室内試験によって実施されている。一方、欧州では、排出ガス規制の強化にもかかわらず、都市部における大気質の改善が進まないことから、新たな規制として、車両に車載型排出ガス計測システム（PEMS : Portable Emissions Measurement System）を搭載して路上走行時の排出ガス性能を評価する試験（RDE:Real Driving Emissions）が始まっている。これは、実使用条件下での排出ガスを低減させれば、大気質の改善効果が期待できるとの考えであるが、多様な走行条件となる路上走行において、適切な評価法を定めることの難しさがある。わが国でも国際基準調和の観点から重量車のRDE試験に関する検討は始まっているが、欧州との交通事情等の違いから調整事項も多く存在し、実施段階までには、さらなる時間を要するものと考えられる。

本報では、重量車の路上走行時の排出ガス計測を、ジルコニア ( $ZrO_2$ ) 式 NOx センサ等の排気管直挿型センサを用いた計測システム（SEMS : Sensor-based Emissions Measurement System）<sup>1)</sup>で行う場合の課題を明らかにするとともに、その改善策について検討した。欧州の RDE 路上走行試験では、認証試験で用いる定置型排出ガス分析計をコンパクトにして車載可能とした PEMS を用いるが、電源部とガスボンベを加えると重量 200kg 超となって設置は容易でなく、消費電力が大きいことから計測可能時間は 2 時間～3 時間と短い。このことは、評価試験を実施する上での制約となる。一方、SEMS では、排気管直挿型センサであることから設置は容易で、電源は車両バッテリから供給できるので長時間の計測が可能である。しかしながら、課題も存在する。現状の NOx センサ（限界電流型  $ZrO_2$  センサ）は、認証時の NOx 分析に用いる化学発光 (CLD)

法に比べて測定精度が劣り、さらに排出ガス中の  $NH_3$  を NOx に誤検知する  $NH_3$  干渉問題<sup>2)</sup>がある。本報では、NOx センサの測定精度の改善策として、NOx 濃度算出時の検量線を重量車の排出ガスに適合するように修正するとともに、 $NH_3$  干渉を補正するために排気管直挿型  $NH_3$  センサ（混成電位型  $ZrO_2$  センサ）の導入を検討した。以下に、これらの検討結果の概要を報告する。

#### 2. 検討方法

NOx センサの NOx 濃度測定における測定精度の改善策を検討するため、3 台の試験車両のシャシダイナモーティア試験による排出ガス測定データを用いた。試験車両は、小型貨物車 A（平成 28 年規制適合、車両総重量 4.7 t）、中型貨物車 B（平成 28 年規制適合、車両総重量 7.8 t）および大型貨物車 C（平成 21 年規制適合、車両総重量 25 t）である。それぞれの車両の排気管には、NOx センサを装着するとともに定置型排出ガス分析計 (CLD 法) のサンプリングプローブを接続し、WHVC モード等を走行して、NOx センサ出力、NOx 濃度 (CLD 法) 等を連続的に取得した。そして、NOx 濃度算出用の検量線を用いて NOx センサ出力を NOx 濃度に換算し、定置型排出ガス分析計の NOx 濃度 (CLD 法) と比較することにより、測定精度の改善策を探った。

$NH_3$  干渉補正の検討には、上記の大型貨物車 C（積算走行距離：約 68 万 km）の排気管に、NOx センサおよび  $NH_3$  センサを装着し、さらに定置型排出ガス分析計 (CLD 法) を接続して、シャシダイナモーティア試験を行った。供試車両に装着されている尿素 SCR 触媒は、性能劣化が進行して、エンジン高負荷運転域ではテールパイプからの  $NH_3$  排出が認められることから、この領域のデータを用いて、 $NH_3$  センサの  $NH_3$  濃度の測定性能や同センサを用いた NOx センサの  $NH_3$  干渉を補正する方法について検討した。

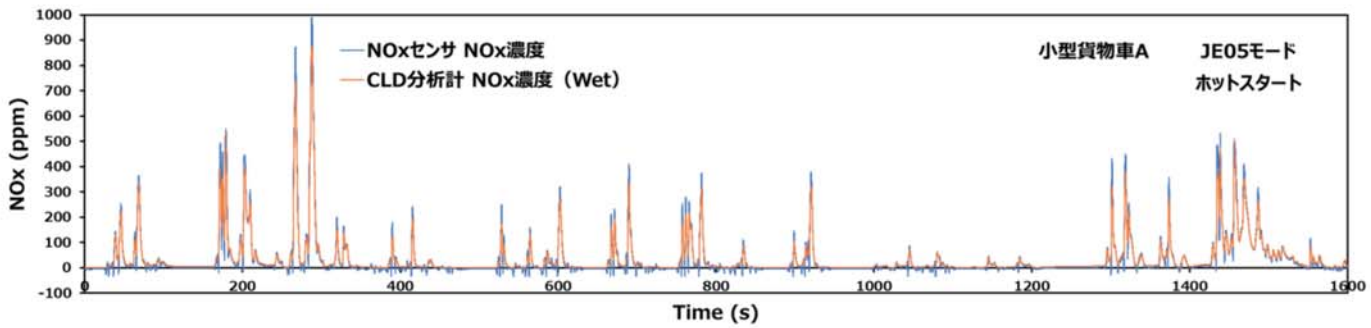


図1 NOx センサによる NOx 濃度測定値と定置型排出ガス分析計 (CLD 法) による NOx 濃度測定値の比較

### 3. 実験結果および考察

#### 3. 1. NOx センサの NOx 濃度測定値の補正

図1に、小型貨物車Aが、シャシダイナモーメータ試験において、JE05モードを走行したときのNOxセンサによるNOx濃度測定値と定置型排出ガス分析計(CLD法)によるNOx濃度測定値を時系列で比較した結果を示す。同図より、両者は概ね一致しているものの、NOx排出のない条件でNOxセンサのNOx濃度がマイナス側に変動している領域が観測され、またNOx濃度が急増・急減する変動のピーク値においてNOxセンサの濃度が定置型排出ガス分析計(CLD法)の濃度より大きくなっていることがわかる。ここで、NOxセンサの応答性は定置型排出ガス分析計(CLD法)よりも高いことから、変動の立ち上りのピーク値が大きくなるときは立下りのピーク値も大きくなるはずであるが、立ち上りのピーク値のみが大きい場合が観測され、応答性では説明できない誤差要因の存在が考えられる。

先ず、NOxセンサにおけるNOx濃度のマイナス側への変動について考察し、その補正方法を検討した。ここで、供試NOxセンサは、ZrO<sub>2</sub>固体電解質のO<sub>2</sub>イオン伝導性を応用したセンサ基板で構成される。ZrO<sub>2</sub>の外側にO<sub>2</sub>ポンプとして一対の電極が配置され、この電極間に調整した電圧を印加することでO<sub>2</sub>を測定空間から汲み出す。その上で、NOx測定用ポンプでNOxをO<sub>2</sub>とN<sub>2</sub>に分解してそのO<sub>2</sub>分圧をO<sub>2</sub>イオン伝導量として検出する。この検出値を基に、排出ガス中のNOx量に比例した出力信号を取り出す。この測定原理から、NOxセンサ出力のマイナス側への変動は、O<sub>2</sub>を測定空間に汲み入れる場合に生じることが考えられる。急なアクセル操作等によってセンサ基板に温度降下が生じる場合、電極にNOが吸着し難くなりCOのみが吸着するとの報告<sup>3)</sup>がある。このCOを酸化するためにO<sub>2</sub>

が測定空間内に汲み入れられてセンサ出力がマイナス側へ変動している可能性がある。ただし、この出力のマイナス側への変動は、NOx排出のない条件で生じていることから、マイナス出力をゼロとして処理すれば排出量への影響はないものと考えられる。

次に、NOx濃度が急増・急減する変動のピーク値において、NOxセンサの濃度が定置型排出ガス分析計(CLD法)の濃度より大きくなることについて考察した。NOxセンサは、NOx濃度に比例した電圧出力を検出し、その出力をモデルガス(N<sub>2</sub>、O<sub>2</sub>、NO、H<sub>2</sub>O:3%、室温)により作成した検量線を用いて濃度に換算している。図2に、小型貨物車AがJE05モードを走行したときのNOxセンサによるNOx濃度電圧出力値と定置型排出ガス分析計(CLD法)によるNOx濃度測定値の関係を示す。図中のオレンジ色の直線は、モデルガスによる検量線であり、赤色の破線はCLD法によるNOx濃度測定値の近似直線を示す。同図より、NOx濃度電

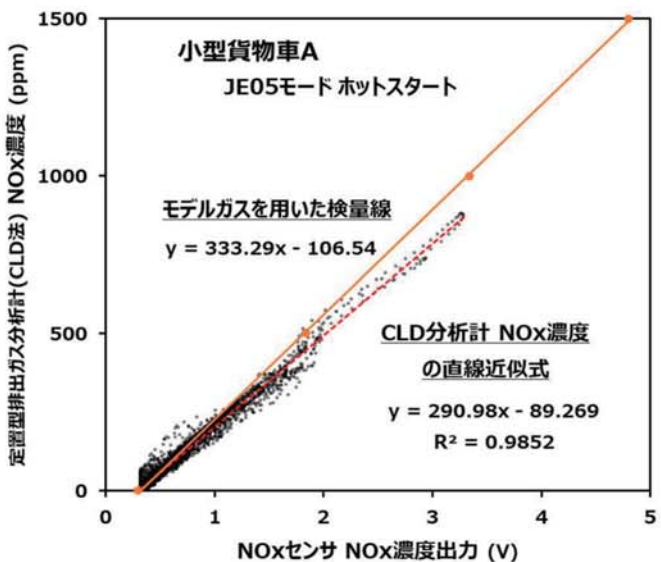


図2 NOxセンサによるNOx濃度電圧出力値と定置型排出ガス分析計(CLD法)によるNOx濃度測定値の関係

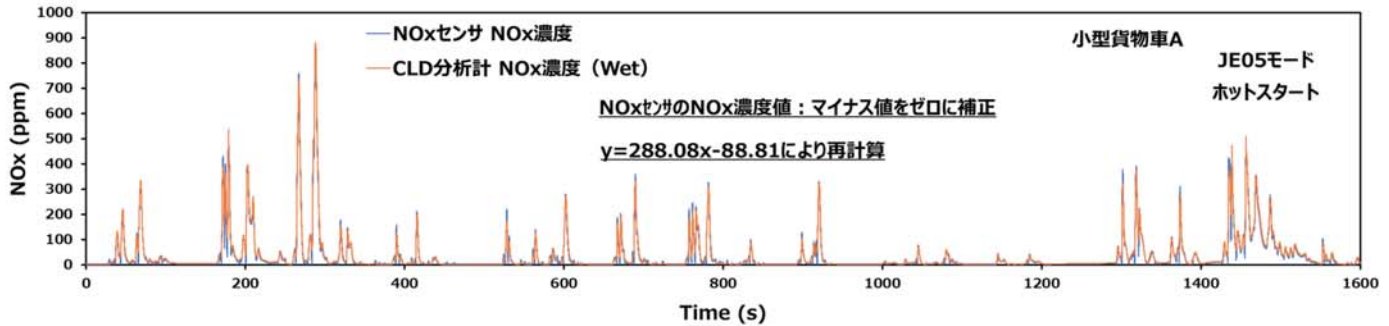


図3 NO<sub>x</sub>センサのNO<sub>x</sub>濃度測定値（補正後）と定置型排出ガス分析計（CLD法）のNO<sub>x</sub>濃度測定値の比較  
(補正: NO<sub>x</sub>センサのNO<sub>x</sub>濃度出力を、マイナス値をゼロに置き換えた上で、①式の検量線を用いてNO<sub>x</sub>濃度を再計算)

圧出力に対するNO<sub>x</sub>濃度測定値（CLD法）は、モデルガスによる検量線を用いたNO<sub>x</sub>濃度換算値よりも小さくなることがわかる。このことは、モデルガスによる検量線が小型貨物車Aの排出ガスに適合していないことを示している。このように検量線の適合不良が、NO<sub>x</sub>濃度変動のピーク値において、NO<sub>x</sub>センサの濃度が定置型排出ガス分析計（CLD法）の濃度より大きくなる原因であると考えられる。そこで、小型貨物車AがJE05、WHVC等のモードパターンをコールドスタートあるいはホットスタートで走行したときのNO<sub>x</sub>センサによるNO<sub>x</sub>濃度電圧出力値と定置型排出ガス分析計(CLD法)によるNO<sub>x</sub>濃度測定値の関係を分析して、以下に示す小型貨物車A用の検量線を作成した。

$$y = 288.08 x - 88.81 \quad \cdots \text{①式}$$

y: NO<sub>x</sub>濃度 (ppm)、x: NO<sub>x</sub>センサ出力 (V)

①式の作成過程を以下に示す。図2に示すようなNO<sub>x</sub>センサのNO<sub>x</sub>濃度電圧出力値と定置型排出ガス分析計（CLD法）のNO<sub>x</sub>濃度測定値の直線近似式における「傾き」と「y切片」は、走行条件により排出ガス中のH<sub>2</sub>O濃度が変動することに起因して変化すると考えられる。小型貨物車Aでは、検量線の分析に用いたモード走行データの平均H<sub>2</sub>O濃度は、5.4%~6.7%の範囲で変化したが、「傾き」と「y切片」それぞれの変化はわずかであったことから、検量線①式の「傾き」と「y切片」は、分析に用いたモード走行データの「傾き」の平均値および「y切片」の平均値とした。

ここで、図1のNO<sub>x</sub>センサのNO<sub>x</sub>濃度出力を、マイナス値をゼロに置き換えた上で、①式の検量線を用いてNO<sub>x</sub>濃度を再計算した結果を、図3に示す。同図より、NO<sub>x</sub>センサによるNO<sub>x</sub>濃度測定値と定置型排出ガ

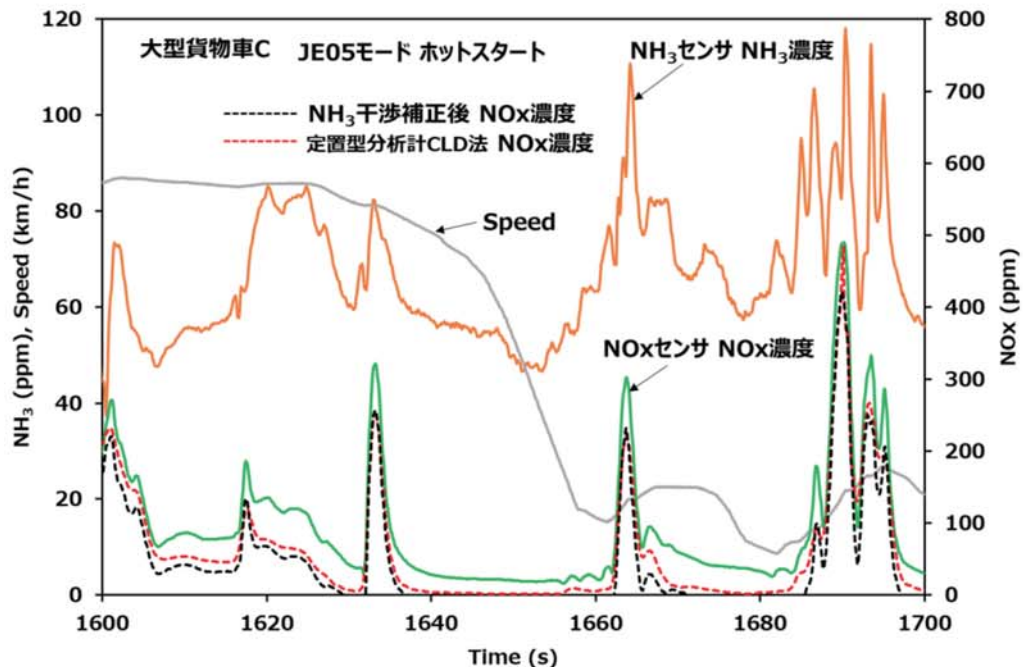


図4 JE05モード走行時におけるNO<sub>x</sub>センサのNO<sub>x</sub>濃度測定値、定置型排出ガス分析計（CLD法）のNO<sub>x</sub>濃度測定値およびNH<sub>3</sub>センサのNH<sub>3</sub>濃度測定値の時系列変化

ス分析計 (CLD 法) による NO<sub>x</sub> 濃度測定値は、NO<sub>x</sub> 濃度変動のピーク値においてよく一致し、NO<sub>x</sub> センサの NO<sub>x</sub> 濃度測定値の補正が適切であることがわかる。

同様に、中型貨物車 B および大型貨物車 C についても各車両に適合する検量線を作成し、補正法の有効性を確認した。試験車両において、H<sub>2</sub>O 濃度等の排出ガス組成が異なる場合は、検量線を車両ごとに用意する必要があると考えられた。

### 3. 2. NH<sub>3</sub>センサによる NO<sub>x</sub> センサの NH<sub>3</sub>干渉補正

図 4 に、大型貨物車 C が、シャシダイナモーテータ試験において、JE05 モードを走行したときのモード最後のショートトリップにおける NO<sub>x</sub> センサによる NO<sub>x</sub> 濃度測定値、定置型排出ガス分析計 (CLD 法) による NO<sub>x</sub> 濃度測定値および NH<sub>3</sub> センサによる NH<sub>3</sub> 濃度測定値を時系列で表示して示す。同図より、大型貨物車 C (積算走行距離: 約 68 万 km) では、NH<sub>3</sub> (オレンジ色の線) が 50 ppm ~ 120 ppm の範囲で変動して排出されていることがわかる。そのため、NO<sub>x</sub> センサの NO<sub>x</sub> 濃度 (緑色の線) は、NH<sub>3</sub> を NO<sub>x</sub> と誤検知して、定置型排出ガス分析計 (CLD 法) の NO<sub>x</sub> 濃度 (赤色の破線) より大きな値となっている。ここで、NH<sub>3</sub> センサの NH<sub>3</sub> 濃度測定値を用いて NO<sub>x</sub> センサの NH<sub>3</sub> 干渉の補正が可能かどうかを検討した。NH<sub>3</sub> は、NO<sub>x</sub> センサの Pt 族系電極 (センサ温度: 700°C 程: 内蔵ヒータで温調) において、以下に示す酸化反応により、NO<sub>x</sub> (NO および NO<sub>2</sub>) を生成している。



ここで、供試 NO<sub>x</sub> センサの上記反応における NH<sub>3</sub> から NO<sub>x</sub> を生成する転換率は、約 80% として、以下の式により、NO<sub>x</sub> センサの NH<sub>3</sub> 干渉を補正することとした。

$$\text{NO}_x \text{ 濃度補正值} = \text{NO}_x \text{ 濃度測定値} - \text{NH}_3 \text{ 濃度} \times 0.8 \quad \cdots \text{②式}$$

この②式を用いて NO<sub>x</sub> センサの NH<sub>3</sub> 干渉を補正した結果を、図 4 中に黒色の破線で示す。同図より、NO<sub>x</sub> 濃度補正值 (黒色の破線) は、定置型排出ガス分析計 (CLD 法) の NO<sub>x</sub> 濃度値 (赤色の破線) と概ね一致していることがわかる。このことから、NH<sub>3</sub> センサの NH<sub>3</sub> 濃度の測定性能および同センサを用いた NO<sub>x</sub> センサの NH<sub>3</sub> 干渉の補正方法は、適正であると考えられる。ただし、NH<sub>3</sub> の NO<sub>x</sub> への転換率 80% は、走行条件等によって変化することが考えられ、適切な設定値については、今後の検討課題としたい。

### 4. まとめ

ZrO<sub>2</sub>式 NO<sub>x</sub> センサを用いた重量車排出ガス計測システム (SEMS) における NO<sub>x</sub> 濃度測定の高精度化に関する課題とその改善策について検討した。その結果、以下の点を明らかにした。

(1) NO<sub>x</sub> センサの NO<sub>x</sub> 濃度出力のマイナス側への変動は、急なアクセル操作等によってセンサ基板に温度低下が生じ、電極に NO が吸着し難くなり CO のみが吸着し、この CO を酸化するために O<sub>2</sub> が測定空間内に汲み入れられて生じているものと考えられた。ただし、NO<sub>x</sub> 排出のない条件で生じていることから、マイナス出力をゼロとして処理すれば排出量への影響はないものと考えられる。

(2) NO<sub>x</sub> 濃度が急増・急減する変動のピーク値において、NO<sub>x</sub> センサの濃度が定置型排出ガス分析計 (CLD 法) の濃度より大きくなるのは、センサ添付のモデルガスによる検量線が試験車両の排出ガスに適合していないことに起因する。新たに、試験車両の実排ガスデータを基に検量線を作成し、これを用いて NO<sub>x</sub> 濃度を再計算することにより、上記の課題が改善された。

(3) 排気管直挿型 NH<sub>3</sub> センサ (混成電位型 ZrO<sub>2</sub> センサ) の NH<sub>3</sub> 濃度測定値を用いて、NO<sub>x</sub> センサの NH<sub>3</sub> 干渉の補正方法を検討した。供試 NO<sub>x</sub> センサにおいて NH<sub>3</sub> から NO<sub>x</sub> を生成する転換率を約 80% として、NO<sub>x</sub> センサの NO<sub>x</sub> 濃度測定値から NH<sub>3</sub> 濃度測定値の 80% の値を減算することにより補正できるとの見通しを得た。

### 参考文献

- 1) 山本敏朗、鈴木央一、山口恭平、 “NO<sub>x</sub> センサベースの車載計測器を用いた重量貨物車の路上走行時における NO<sub>x</sub> 排出量の測定と NO<sub>x</sub> 抑制装置の機能診断”，自動車技術会論文集, Vol. 49, No. 3, pp. 642–649 (2018)
- 2) 山本敏朗、野田明、阪本高志：排出ガス対策装置の車載機能診断システム (OBD) に関する性能要件及び機能評価法の研究 (第 1 報) –触媒劣化の検知方法に関する基礎的考察–, 平成 12 年度 (第 30 回) 交通安全公害研究所研究発表会講演概要, pp. 93–96 (2000)
- 3) 藤井朝文ほか, “高精度リア A/F センサの開発”, 自動車技術会 2017 年春季大会学術講演会講演予稿集, 20175303 (2017)